

- [5] Сотин В.Е., Шевцов В.М. // Письма в ЖТФ. 1984. Т. 10. № 8. С. 475-479.
- [6] Kitagawa M., Tateeda M. // Appl. Opt. 1985. V. 24. No 20. P. 3359-3362.
- [7] Khurgin J. // Appl. Phys. Lett. 1987. V. 51. No 25. P. 2100-2102.
- [8] Roxlo C.B., Abeyese B., Tiedje T. // Phys. Rev. Lett. 1984. V. 52. No. 25. P. 2100-2102.
- [9] Агапов А.Ю., Сотин В.Е., Шевцов В.М. // Оптика и спектроскопия. 1988. Т. 65. № 1. С. 217-220.
- [10] Келих С. Молекулярная нелинейная оптика. М.: Наука, 1981. 672 с.
- [11] Бирман Д. Пространственная симметрия и оптические свойства твердых тел. М.: Мир, 1978, т. 2. 352 с.
- [12] Грибковский В.П., Зульков В.А., Казаченко А.Э. // Письма в ЖТФ. 1988. Т. 14. № 10. С. 874-877.

Университет
Дружбы народов
им. Патриса Лумумбы

Поступило в Редакцию
21 декабря 1988 г.

Письма в ЖТФ, том 15, вып. 5
10

12 марта 1989 г.

ЭКСПЕРИМЕНТЫ ПО ПОВОРОТУ НА 180°
СИЛЬНОТОЧНОГО ПУЧКА ЭЛЕКТРОНОВ
В ВИНТОВОМ МАГНИТНОМ ПОЛЕ

М.А. Алексеев, Б.Ф. Бабенко, В.Д. Зюзин,
В.Н. Канунников, А.А. Косарев,
А.К. Мяздриков, С.Г. Ротт, Н.В. Сулханов

Для формирования пространственной винтовой орбиты пучка [1] в индукционном линотроне [2] на участке поворота на 180° предложено использовать ПФМ¹ с однородным вертикальным полем B_z и тороидальным полем $B_\theta(r) = B_\theta(R)(R/r)$ (применяется цилиндрическая система координат r, θ, z ; R – большой радиус тора). Система круглых катушек ПФМ охватывает вакуумную камеру–тороидальный электронопровод из нержавеющей стали с внутренним радиусом сечения 7 см и толщиной стенки ~0.5 см. Катушки равномерно распределены по длине камеры с периодом ~10 см, $R = 100$ см. Составляющая B_z возбуждается двумя одинаковыми рамками, имеющими форму полуколец и лежащими выше

¹ Поворотно-фокусирующий магнит.

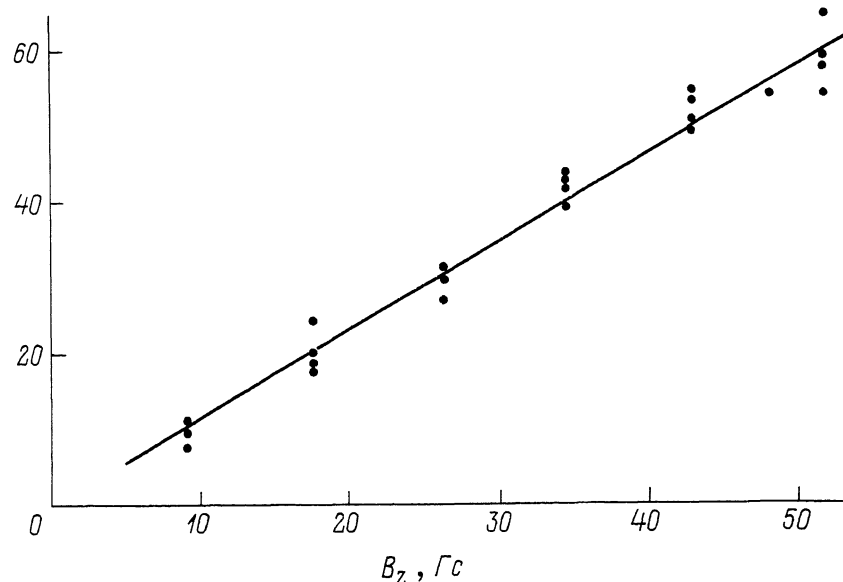
$\Delta Z, \text{мм}$ 

Рис. 1. Зависимость вертикального смещения центра пучка $\Delta Z = |Z - Z_d|$ от индукции вертикального поля B_z .

и ниже катушек тороидального поля; расстояние между проводниками рамок по радиусу – 41 см, по вертикали – 24 см. Форма импульсов тока в обмотках ПФМ – полусинусоида длительностью 3 мс (по основанию).

Источником электронного пучка служит электронная пушка (ЭП) – коаксиальный диод с магнитной изоляцией, присоединенный к ПФМ через переходную цилиндрическую камеру с однородным магнитным полем. ЭП питается от генератора импульсного напряжения (ГИН), амплитуда напряжения на катоде регулировалась при экспериментах в пределах 0.35...0.55 МВ, длительность импульса ~ 3 мкс, диаметр катода 1 см, давление остаточного газа не хуже 10^{-5} мм рт. ст., ток пучка – до 4 кА.

Напряжение на ЭП измеряли, используя резистивный делитель и осциллограф; кроме того, контролировали зарядное напряжение ГИНа. На выходе ПФМ установлена сменная мишень (пластина из нержавеющей стали, свинца или полиэтилена). След, оставляемый пучком на мишени, позволяет определить положение, форму иоперечные размеры пучка в конце тороидальной камеры. В неизменных условиях эксперимента положение и форма следов воспроизводится от импульса к импульсу с отклонением менее 0.1 см. Ток на мишень измеряли с помощью резистивного шунта и осциллографа.

В условиях нашего эксперимента вертикальное смещение следа пучка (ΔZ), связанное с кривизной R^{-1} магнитного поля, и радиальное отклонение следа (Δr), вызванное взаимодействием пучка

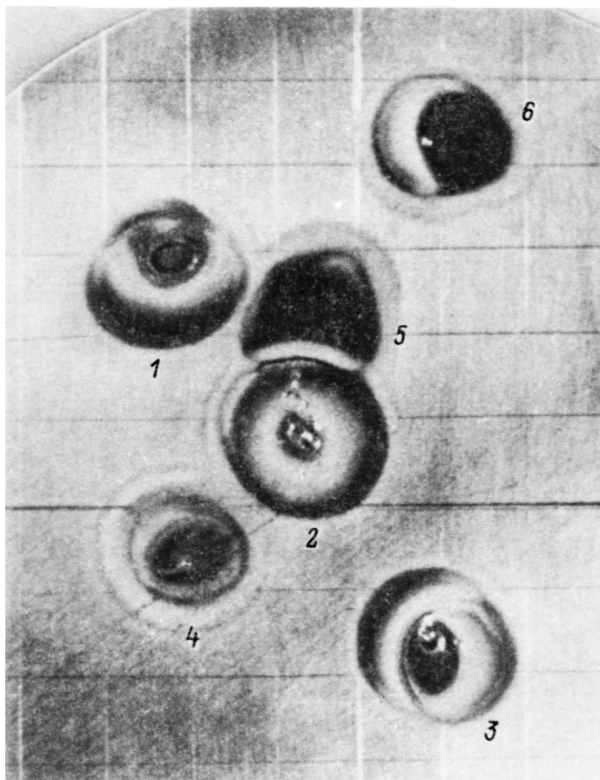


Рис. 2. Фотография мишени из нержавеющей стали со следами пучка, полученными при различных значениях индукции поля B_θ и B_z . Длина стороны квадрата у координатной сетки, нанесенной на мишень, = 1 см.

со стенкой металлической камеры, близки по величине. Поэтому при исследованиях одних только эффектов кривизны пучок на входе в ПФМ диафрагмировали, уменьшая ток до ~ 0.2 кА. Сильно диафрагмированный пучок (с током ~ 0.2 кА) оставлял заметный след только на полиэтиленовой или свинцовой мишени; при этом смещение следа по радиусу при изменении поля B_z практически отсутствовало ($\Delta r \leq 1$ мм).

Величина индукции $B_\theta(R)$ при экспериментах была равна ~ 2.7 кГс, измерения проводили как при $B_\theta > 0$ (по направлению скорости пучка v_θ), так и при $B_\theta < 0$. Составляющую $B_z > 0$ изменяли в диапазоне 0...52 Гс с шагом ~ 9 Гс. При $B_z = 0$ регистрировался центробежный дрейф пучка, т. е. измерялась величина вертикального смещения $Z_d = (c\rho_\theta/eR)B_\theta^{-1}(R)R\theta$, где $R\theta$ — длина пути, c — скорость света, e — заряд электрона, ρ_θ — азимутальная составляющая импульса частицы. Измерения при $B_z \neq 0$

имели цель экспериментально проверить возможность управления центробежным дрейфом в соответствии с формулой

$$Z = (c\rho\theta/eR + B_\theta) B_\theta^{-1}(R) R \cdot \theta.$$

На рис. 1 приведены результаты, полученные как с интенсивным, так и с диафрагмированными пучками при энергии 0,35 МэВ. По оси ординат отложена величина $\Delta Z = |Z - Z_d|$, т. е. смещение пучка относительно верхнего при ($B_\theta < 0$) или нижнего (при $B_\theta > 0$) уровня, достигаемого пучком при $B_\theta = 0$. Сплошная кривая — теоретическое значение $|Z - Z_d|$, а точки — результаты измерений с шестью различными мишениями и при различных токах пучка на мишени в диапазоне $\sim 0.2 \dots 2$ кА. Погрешность измерений оценивается величиной $\pm 10\%$.

На рис. 2 представлена фотография мишени со следами, оставленными недиафрагмированным пучком (~ 4 кА, ~ 0.5 МэВ). Следы 1, 2, 3 получены при $B_\theta = -2700$ Гс и $B_z = 0$; 26 и 52 Гс соответственно, а следы 4, 5, 6 — при $B_\theta = 2700$ Гс и $B_z = 0$; 26 и 52 Гс соответственно. Центры следов первой группы (1, 2, 3) лежат на прямой, составляющей с вертикалью угол $\varphi_1 \approx +30^\circ$, а центры следов второй (4, 5, 6) — на прямой с $\varphi_2 \approx -30^\circ$.

Наблюдаемое перемещение следов сильноточного пучка на мишени согласуется с известными представлениями (см. например, [3]) о его взаимодействии со стенками камеры при движении в продольном магнитном поле (дрейф в скрещенных полях: $E_{\text{др}}$, B_θ).

Эксперименты подтвердили возможность управления центробежным дрейфом пучка в ПФМ с точностью, достаточной для формирования пространственной орбиты в индукционном линотроне [2].

Авторы благодарят В.В. Еляна и А.В. Мищенко за поддержку и обсуждение работы.

Список литературы

- [1] Зюзин В.Д., Коренев И.Л., Юдин Л.А. // Письма в ЖТФ. 1981. Т. 7. В. 16. С. 977-980.
- [2] Бабенков Б.Ф., Зюзин В.Д., Канунников В.Н. // ЖТФ. 1987. Т. 57. В. 4. С. 721-728.
- [3] Humpries S., Jr. and Len L.K. // J. Appl. Phys. 1987. V. 62. N 5. P. 1568-1575.

Поступило в Редакцию
10 декабря 1988 г.